

УДК 532.525.2:533.6.011

УПРАВЛЕНИЕ СОПРОТИВЛЕНИЕМ ТЕЛ В СВЕРХЗВУКОВЫХ ПОТОКАХ ГАЗА ЗА СЧЕТ ВЫДУВА СТРУЙ ЖИДКОСТИ*

A. E. Бердюгин, B. M. Фомин, B. P. Фомичев

Институт теоретической и прикладной механики СО РАН,
630090 Новосибирск

Существуют различные подходы, позволяющие изменять структуру течения в ближней зоне около тел, обтекаемых сверхзвуковым потоком. Одним из активных способов управления сопротивлением тел в сверхзвуковых потоках является использование тонкой иглы, выступающей из головной части затупленного тела навстречу потоку [1]. При этом происходит перестройка течения, которая приводит к образованию так называемого отрывного течения и существенному уменьшению сопротивления обтекаемого тела. Основные исследования в области управления отрывом потока представлены в [2, 3]. Дальнейшее обобщение работ по управлению сопротивлением тел состояло в выдуве из иглы различных инертных и реагирующих газов, позволяющем управлять пульсациями потока в отрывных зонах около иглы, что существенно влияет на аэродинамические характеристики тел [4].

Активная перестройка сверхзвукового течения осуществляется, если в потоке присутствуют мелкие твердые частицы, особенно когда имеет место отскок частиц от обтекаемого тела [5–9] или специально организованный выдув двухфазного потока [10, 11]. Такая перестройка потока приводит к существенному уменьшению сопротивления затупленных тел.

Аналогичный эффект следует ожидать при локальном выдуве струй жидкости из затупленных тел навстречу сверхзвуковому потоку. Физическая картина взаимодействия струи жидкости со встречным потоком газа описана в [12]. Явление уменьшения сопротивления различных тел при локальном выдуве струй жидкости установлено авторами в [13, 14]. В данной работе проведено подробное изучение этого явления и установлены оптимальные режимы выдува струи жидкости, при которых происходит максимальное уменьшение сопротивления.

1. Экспериментальная установка и измерения. Изучались структура течения и последствия, которые возникают при взаимодействии струй жидкости, истекающих из передних критических точек различных осесимметричных тел, со встречным сверхзвуковым потоком газа. Эксперименты проводились в сверхзвуковой аэrodинамической трубе ИТПМ СО РАН (Т-313) с размером рабочей части $0,6 \times 0,6$ м при числах Маха набегающего потока $M = 1,75; 2; 3; 4$ и числах Рейнольдса, полученных по параметрам набегающего потока и отнесенных к размеру 1 м ($Re = (2,5 \div 5,5) \cdot 10^7$).

В качестве обтекаемых тел использовались тестовые модели НВ-1 и НВ-2, а также цилиндр диаметром 60 мм, длиной 300 мм со следующими головными частями: плоский торец (модель Т), конусы с углами при вершине 20, 30, 38, 52, 110° (соответственно модели Н20, Н30, Н38, Н52, Н110). Модели фиксировались в потоке на осевой державке. Жидкость подавалась из передней критической точки модели навстречу потоку через

*Работа выполнена при финансовой поддержке Российского фонда фундаментальных исследований (код проекта 94-01-01453).

цилиндрический канал (сопло) диаметром от 0,6 до 3 мм и длиной пять его диаметров. Кроме того, на модели Н110 вместо цилиндрического сопла устанавливались центробежные форсунки с углами распыла 15 и 25°. В качестве выдуваемой жидкости использовались незамерзающие при низких температурах этианол, керосин и смесь этиленгликоля с водой.

Конструкция моделей позволяла вместо сопел для выдува жидкости устанавливать стержень диаметром 6 мм с глубиной выдвижения из головной части модели до трех ее диаметров, который в зависимости от наконечника мог быть иглой или державкой для тела-лидера. В качестве тела-лидера использовались затупленные стреловидные наконечники или плоские диски диаметром 8; 12 и 16 мм. Все эксперименты проводились при нулевом угле атаки. Модели и сменные головные части приведены на рис. 1.

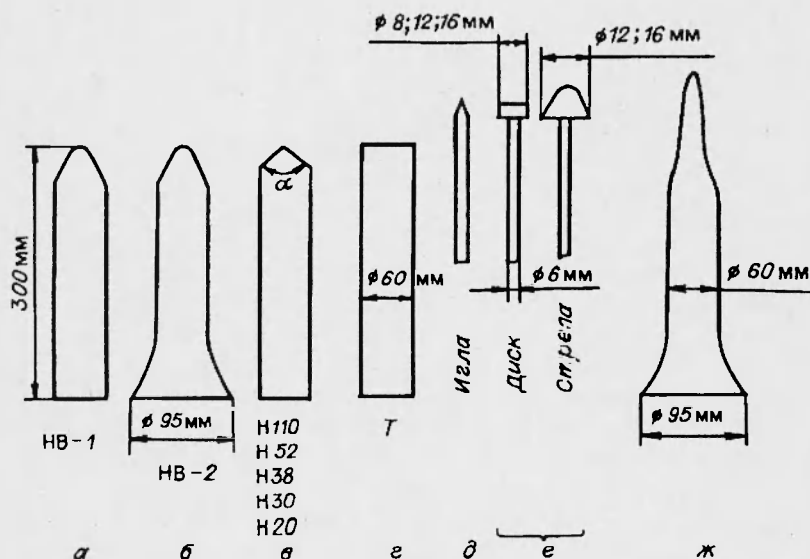


Рис. 1

В процессе экспериментов измерялись исходные параметры набегающего потока, весовые характеристики, а также производилась теплеровская съемка картины течения с экспозицией $1/30$ и $4 \cdot 10^{-6}$ с.

Расход жидкости определялся по измерениям давления в коллекторе перед соплом, а также электромагнитным измерителем расхода ИР-61. При этом осуществлялась предварительная тарировка каждого сопла.

2. Результаты экспериментов и их обсуждение. По аналогии с обтеканием цилиндрических тел с иглой [1] естественно было ожидать уменьшения аэродинамического сопротивления моделей в сверхзвуковом потоке при подаче струи жидкости из головной части модели навстречу потоку. Эффект уменьшения аэродинамического сопротивления был зафиксирован при обтекании тестовой модели НВ-2 и по абсолютной величине превосходил уменьшение сопротивления, вызванное установкой на модель НВ-2 иглы оптимальной длины [1-3]. Как и в случае модели с иглой, подача струи жидкости приводила к изменению волновой структуры потока перед телом. Физическая картина взаимодействия струй жидкости со сверхзвуковым потоком, зафиксированная теневыми фотографиями, качественно совпадает с результатами [12], поэтому на особенностях, которые имеют место из-за различных геометрических форм моделей, остановимся

ниже.

Исследования эффективности воздействия на набегающий поток струй жидкости различных диаметров выполнены на модели НВ-2 при $M = 2; 3; 4$. Они показали, что величина уменьшения аэродинамического сопротивления модели определяется не только расходом жидкости, но и диаметром струи.

На рис. 2 приведены относительные изменения коэффициента аэродинамического сопротивления C_x тестовой модели НВ-2 при различных условиях обтекания ее сверхзвуковым потоком при $M = 4$. Линия 2 показывает уменьшение C_x , вызванное установкой иглы длиной $1,5D$ (D — диаметр цилиндрической части модели). Кривые 4–12 соответствуют значениям коэффициента C_x в зависимости от массового расхода жидкости при различных диаметрах d выходного отверстия сопел для подачи жидкости. Кривая 4 отвечает $d/D = 0,006$; 5 — 0,009; 6 —

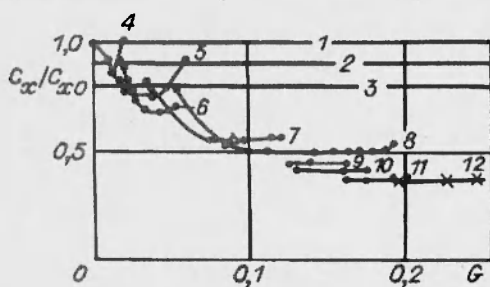


Рис. 2

0,013; 7 — 0,025; 8 — 0,03; 9 — 0,033; 10 — 0,0366; 11 — 0,04; 12 — 0,05. Видно, что для каждого размера сопла существует величина относительного расхода, при которой коэффициент C_x минимален. Дальнейшее увеличение расхода жидкости приводит к росту C_x . По этому эффекту можно говорить о некоторой критической величине относительного расхода жидкости для каждого диаметра струи. По мнению авторов, критическую величину расхода можно описать числом Рейнольдса струи $Re_c = V_c d_c / \nu_*$ (V_c — скорость жидкости на выходе из сопла, d_c — диаметр сопла, ν_* — кинематическая вязкость жидкости). Значения Re_c , определенные по экспериментальным данным, для кривых 5–12 имеют предел $(1,2 \div 1,4) \cdot 10^5$, и только для очень тонкой струи (кривая 4) $Re_c = 0,63 \cdot 10^5$.

Из рис. 2 видно также, что увеличение диаметра струи более чем на $0,04D$ не приводит к уменьшению аэродинамического сопротивления. Поэтому дальнейшее исследование эффекта снижения аэродинамического сопротивления различных затупленных тел при подаче струи жидкости из передней критической точки проводилось при толщине струи $0,04D$. В условиях данного эксперимента диаметр струи 2,4 мм. Изучение обтекания цилиндрических тел с различными головными частями было выполнено при одинаковых условиях подачи жидкости струи, близких к оптимальным.

На рис. 3 представлены результаты измерения коэффициентов аэrodinamического сопротивления C'_x различных моделей в зависимости от относительного расхода жидкости G :

$$G = \frac{\rho_c V_c d^2}{\rho_\infty V_\infty D^2}.$$

Здесь ρ_c и V_c — плотность и скорость жидкости на выходе из сопла; ρ_∞ и V_∞ — плотность и скорость натекающего газа.

Параллельно на оси абсцисс приведена шкала относительного скоростного напора $K = \rho_c V_c^2 / \rho_\infty V_\infty^2$. На всех исследуемых моделях при числах Маха от 1,75 до 4 увеличение относительного скоростного напора K от 1 до ~ 5 приводит к уменьшению сопротивления. Причем у затупленных моделей типа НВ-1 или Н110 это уменьшение происходит в несколько раз. При дальнейшем увеличении расхода G сопротивление моделей начи-

нает рости, и лишь при $M = 1,75$ и 2 выдув струи жидкости из острой модели Н20 не приводит к уменьшению сопротивления. С увеличением M эффект снижения сопротивления возрастает, и на оптимальных режимах выдува струи жидкости ($1 \leq K \leq 5$) сопротивление моделей все меньше зависит от формы ее головной части.

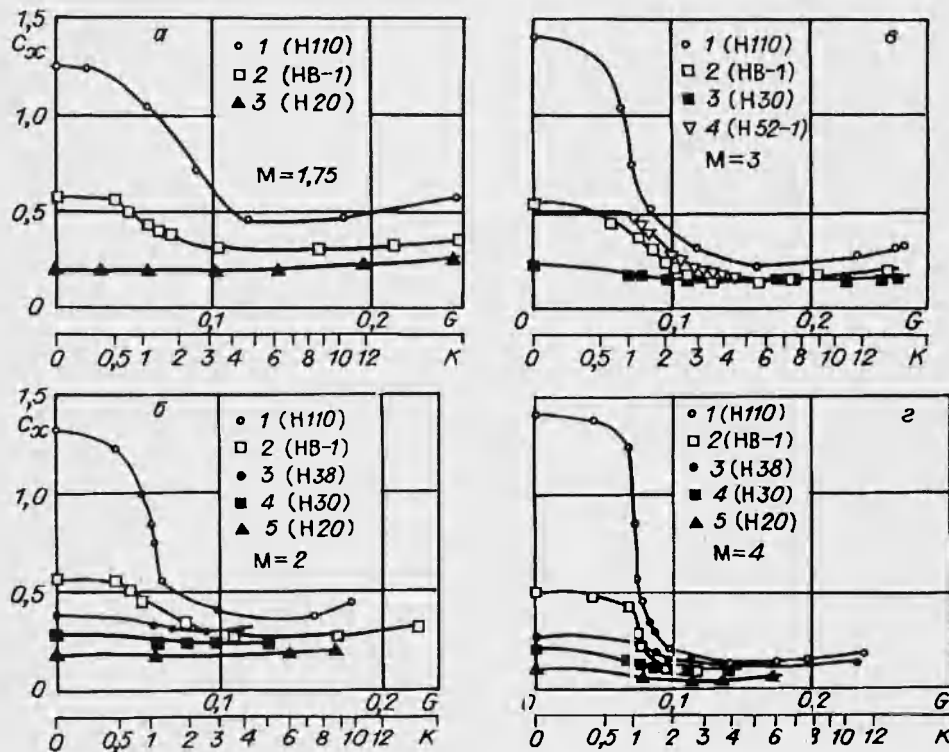


Рис. 3

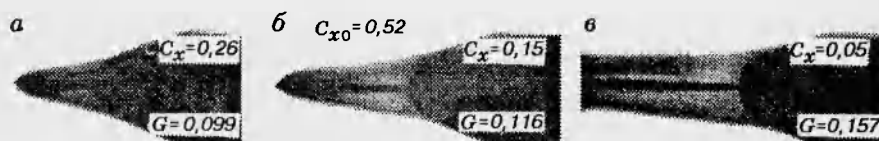


Рис. 4

На рис. 4 представлена серия теневых фотографий структуры течения при различных расходах жидкости, выдуваемой из модели НВ-1 через сопло диаметром $d = 2,4$ мм при $M = 4$. Продолжительность экспозиции $1/30$ с. В нижнем углу приведены значения расходов жидкости, выдуваемой через сопло, в верхнем дано соответствующее этой конфигурации значение коэффициента C_x , а также коэффициента C_{x0} при $G = 0$. На основе теневых фотографий была получена зависимость относительной глубины проникания струи L/r от относительного скоростного напора \sqrt{K} и представлена на рис. 5 для $M = 2$ и 4.

Поведение струи при взаимодействии со встречным потоком зависит от глубины проникания и относительного скоростного напора. При $K < 1$

струя жидкости не выходит за пределы ударного слоя у тела и положение ударной волны стационарное. Увеличение K приводит к перемещению ударной волны навстречу набегающему потоку. Струя жидкости расширяется до $(1,6 \div 1,8)d$, затем переходит в цилиндрический участок, длина которого возрастает с увеличением K . При достижении некоторой предельной для данного расхода

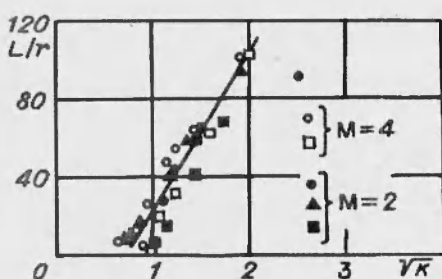


Рис. 5

глубины проникания струя утолщается, приобретает грибо- или каплеобразную форму, останавливается и распадается. Жидкость каплями уносится набегающим потоком. Особенно хорошо это видно на теневых картинах, приведенных на рис. 4, где показано обтекание модели НВ-1 сверхзвуковым потоком ($M = 4$) при расходах жидкости 69; 81 и 110 г/с, $K = 1,92; 2,65; 4,89$ соответственно. В случае, когда струя жидкости взаимодействует с ударной волной, осуществляется перестройка течения, имеющая существенно нестационарный характер. Частота пульсаций определялась по числу положений ударных волн на теневых фотографиях, полученных за время одной экспозиции $3,3 \cdot 10^{-2}$ с.

На рис. 6 видны зафиксированные за время одной экспозиции $5 \div 10$ положений ударной волны, что отвечает частоте $0,15 \div 0,3$ кГц. Пульсации проявляются также и в форме границы «жидкого конуса», образованного газокапельным потоком после распада струи. Это хорошо видно на рис. 7, где приведена фотография потока с экспозицией $4 \cdot 10^{-6}$ с при $M = 2$ (модель Н110). Величины относительного расхода и коэффициента аэродинамического сопротивления даны на рис. 7. На рис. 8 приведены значения коэффициента сопротивления в зависимости от глубины проникания струи или длины выдвижения иглы (или стрелы) для различных моделей при $M = 2$ и 4 .

Как показывают результаты проведенных экспериментов, физическая картина взаимодействия жидкой струи с набегающим потоком газа качественно совпадает с обтеканием затупленных тел с иглой. Если сравнение режимов обтекания затупленных тел со струей, игрой и телами-лидерами типа стрелы проводить по величине уменьшения коэффициента сопротивления моделей, то режимы со струей жидкости лучше соотносятся с режимами обтекания модели со стрелой (рис. 1, e), что хорошо видно на рис. 8, a (модель Н110). В этом случае хорошо совпадают структуры течения перед телами (в частности, формы границ отрывного течения и «жидкого конуса», рис. 7, б, д). Однако для острых тел, когда установка иглы, согласно [1], не влияет на сопротивление и скачок остается присоединенным, выдув струи жидкости приводит к существенному уменьшению сопротивления. Например, на модели Н52 при $M = 4$ выдув струи на оптимальном режиме снижает сопротивление в 8 раз (рис. 9), при $M = 3$ — в 3 раза; игла и стрела в этих условиях на сопротивление не влияют.

Анализ опытных данных позволяет сделать вывод, что выдуваемая струя формирует фиктивное «жидкое» тело, имеющее оптимальное сопротивление в данном сверхзвуковом потоке. Для проверки этой гипотезы по форме фиктивного тела, получаемого при обтекании модели НВ-2 при $M = 4$ с выдувом струи жидкости, создана модель со «сплошной» головной частью оживальной формы (рис. 1, ж). Испытания показали, что в обоих

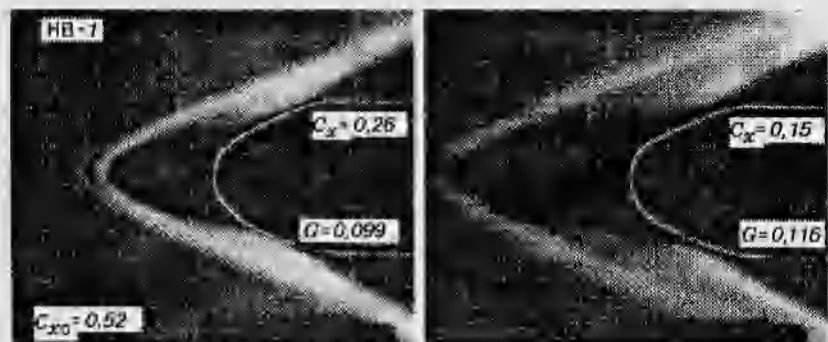


Рис. 6

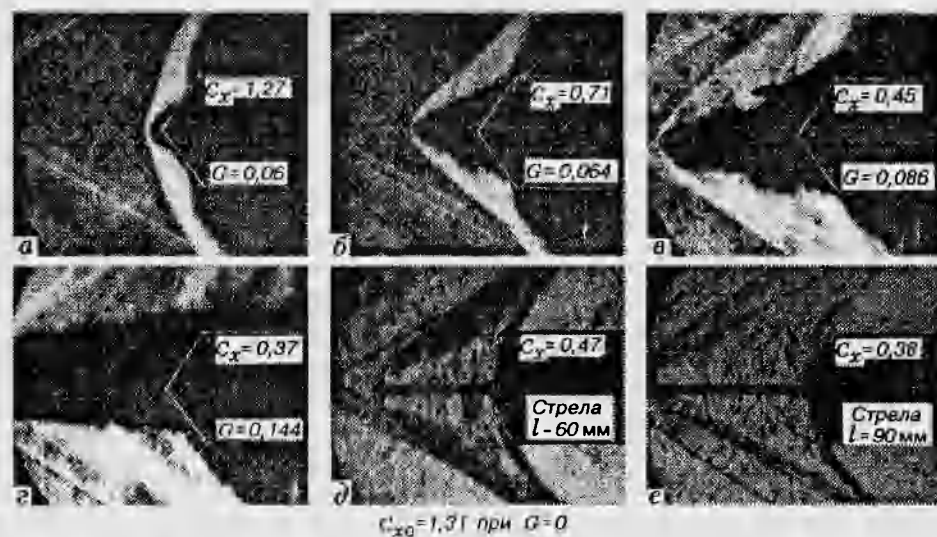


Рис. 7

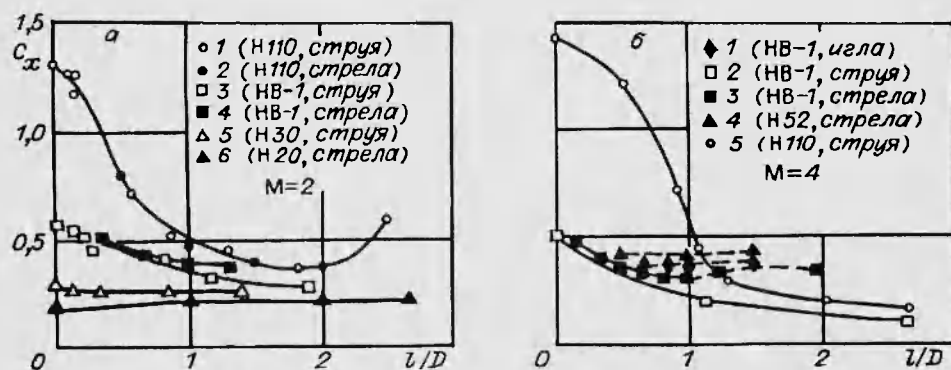


Рис. 8

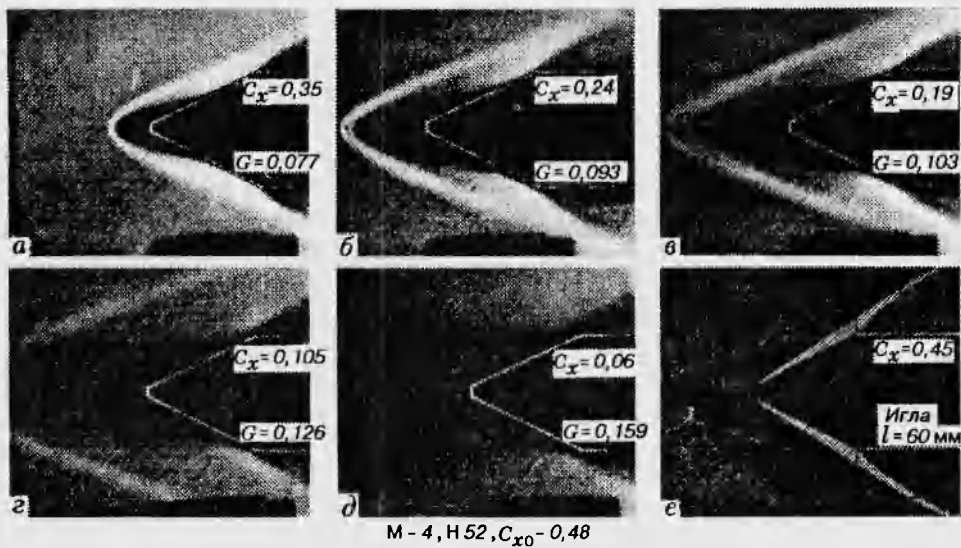


Рис. 9

случаях уменьшение сопротивления было сильнее, чем для модели с иглой ($l/D = 1,5$) при $M = 4$. На рис. 2 линия 2 соответствует модели с иглой, 3 — модели с оживальной головной частью, 7 — модели НВ-2 с жидким струей (диаметр сопла 1,5 мм), треугольником показан режим с длиной струи, равной длине выступающей оживальной части.

Сравнение режимов обтекания моделей со струей и оживалом показывает, что в случае воздействия струи жидкости на набегающий поток имеет место более сильное снижение сопротивления. Такое снижение не может быть объяснено только уменьшением сопротивления трения из-за уменьшения обтекаемой поверхности тестовой модели НВ-2 по сравнению с моделью, имеющей оживальную головную часть. Вероятно, что необходимый эффект снижения сопротивления обусловлен наличием циркуляционной зоны внутри «жидкого» тела перед головной частью модели.

В заключение отметим следующее: 1) установлено, что при локальном выдуве струй жидкости из затупленных тел навстречу сверхзвуковому потоку газа происходит перестройка течения, приводящая к существенному уменьшению сопротивления; 2) найдены режимы течения, при которых уменьшение сопротивления тел имеет оптимальные параметры.

ЛИТЕРАТУРА

1. Wood C. J. A Study of Hypersonic Separated Flow: Thes. . . . doct. phylosophy. Univ. of London, 1961.
2. Чжен П. Отрывные течения. М.: Мир, 1973. Т. 2.
3. Чжен П. Управление отрывом потока. М.: Мир, 1979.
4. Баев В. К., Гаранин А. Ф., Третьяков П. К. О взаимодействии струи водорода со встречным сверхзвуковым потоком // Физическая газодинамика: Сб. ст. / АН СССР. Сиб. отд-ние. Ин-т теорет. и прикл. механики. 1976. Вып. 6. С. 50–52.
5. Brinich P. Blunt body separation at supersonic speeds // J. Aeronaut. Sci. 1958. V. 5. P. 336–337.
6. Бакум Б. И., Домбровская Т. Н., Лагутин В. И. Влияние запыленности потока на результаты испытаний в гиперзвуковых аэродинамических трубах // Изв. АН СССР. МЖГ. 1970. № 4. С. 187–189.

7. Хоув Д. Т., Смит А. А. Голографический анализ возмущений головной ударной волны за счет присутствия частиц в гиперзвуковом потоке // Ракетная техника и космонавтика: Пер. журн. AIAA Journal. 1975. Т. 13, № 7. С. 135–137.
8. Данбар Л. Е., Котни Я. Ф., Макмиллен Л. Д. Возрастание тепловых нагрузок в условиях обтекания тел запыленными гиперзвуковыми потоками // Там же. С. 83–89.
9. Яненко Н. Н., Алхимов А. П., Нестерович Н. И. и др. Изменение волновой структуры при обтекании тел сверхзвуковым двухфазным потоком // Докл. АН СССР. 1981. Т. 260, № 4. С. 821–825.
10. А. с. 906203 СССР. Способ воздействия на сверхзвуковой поток / С. С. Кацельсон, Ю. Н. Нечаев, В. М. Фомин и др. // Открытия. Изобрет. 1982. № 6. С. 270.
11. Гриднев Н. П., Кацельсон С. С., Фомин В. М., Фомичев В. П. Экспериментальное и теоретическое исследование улучшения аэродинамических характеристик сверхзвукового обтекания тел при выдуве из них струи газа с частицами // Сиб. физ.-техн. журн. 1991. Вып. 4. С. 36–39.
12. Коваль М. А., Швец А. И. Взаимодействие струи жидкости со встречным потоком газа // Изв. АН СССР. МЖГ. 1987. № 3. С. 178–181.
13. А. с. 1520957 СССР. Способ воздействия на сверхзвуковой поток / Ю. Н. Нечаев, В. Е. Подзин, Л. Н. Пузырев и др. // Открытия. Изобрет. 1989. № 41. С. 275.
14. Фомин В. М., Фомичев В. П., Бердюгин А. Е. и др. Исследование обтекания модели со струей, подаваемой из головной части модели навстречу потоку // Современные проблемы механики жидкости и газа: Тез. докл. V Всесоюз. школы-семинара. Иркутск, 1990. С. 299–300.

*Поступила в редакцию 28/VII 1994 г.,
в окончательном варианте — 10/X 1994 г.*